

МОДЕЛИРОВАНИЕ ПОЛЯ ПОСТОЯННОГО МАГНИТА

© 2011 Е.М.Булыжёв, Е.Н.Меньшов, Г.А.Джавахи

Ульяновский государственный технический университет
 ЗАО «Булыжев. Промышленные экосистемы», г. Ульяновск

Поступила в редакцию 16.04.2010

Предложена математическая модель распределения скалярного магнитного потенциала, создаваемого в окружающем пространстве цилиндрическим или кольцевым постоянным магнитом.

Ключевые слова: магнитный сепаратор, эквивалентный соленоид, намагниченность, скалярный магнитный потенциал, напряженность магнитного поля, телесный угол, распределение поля.

Работа магнитного сепаратора основана на силовом притяжении постоянными магнитами взвешенных в жидкой среде ферромагнитных частиц. В высокопроизводительных магнитных сепараторах применяются магниты цилиндрической или кольцевой формы, поэтому в однородной среде задача имеет аналитическое решение. В [1] однородное приближение использовалось для оценки режимов магнитных сепараторов на основе представления решения уравнения Пуассона для скалярного магнитного потенциала в виде конечных рядов. Такое решение правомерно лишь в идеальной рабочей точке характеристики размагничивания (в эквипотенциальном приближении при напряженности размагничивающего поля $H_p=0$), а постоянные интегрирования не имеют явной связи с параметрами магнита, поэтому оно не подходит для задач оптимизации сепараторов.

В [2] описывается метод эквивалентного соленоида, который основан на возможности рассмотрения постоянного магнита как однослойного соленоида, имеющего очень тонкую обмотку, по которой протекает намагничивающий ток i . Линейная плотность поверхностного тока, приходящаяся на единицу длины соленоида, выбирается равной величине намагниченности магнита [3]

$$\frac{iW}{l} = M, \quad (1)$$

где W – число витков в обмотке соленоида, l – длина соленоида, равная длине магнита. Следует заметить, что только внешнее поле эквивалентного соленоида эквивалентно полю магнита, внутри же они разные как по направлению, так и по величине [4].

Булыжёв Евгений Михайлович, доктор технических наук, профессор. Тел.: (8422) 44-42-45.

Меньшов Евгений Николаевич, кандидат технических наук, доцент. E-mail: raynd2@rambler.ru.

Джавахи Георгий Анатольевич, аспирант кафедры «Технология машиностроения». E-mail: geo.d@mail.ru.

В общем случае для материала магнетика намагниченность M сильно зависит от напряженности поля размагничивания $H = -H_p$. Однако для магнитных закритических материалов $M(H)$ выражается формулой

$$M(H) = \frac{B_r}{\mu_0 H_{CB}} (H_{CB} + H) - H, \quad (2)$$

которая описывает слабую зависимость M от H [2]. В частности, для Nd-Fe-B – материала при изменении H от $H = 0$ до $H = -H_{CB}$ относительное различие $M(H)$ составляет небольшую величину

$$\frac{M(H_{CB})}{M_r} = \frac{\mu_0 H_{CB}}{B_r} < 1,2,$$

где $M_r = M(0)$. По этой причине значение остаточной намагниченности M_p , определяемое пересечением характеристики размагничивания материала с характеристикой формы, практически не зависит от формы магнита. Однако, тело магнита произвольной формы намагничивается неравномерно [5], за исключением сфероидальной формы. Но в силу слабого характера зависимости M от поля размагничивания ($H = -H_p$) для магнитов из закритических материалов, этой неоднородностью можно пренебречь и для расчетов можно использовать приближенное значение $M \approx M_r$.

На основе закона Био-Савара в [6] проведен расчет напряженности поля соленоида (его аксиальной H_z и радиальной H_r составляющих). Однако, в данной методике содержится дефект, суть которого состоит в том, что напряженность поля как для одиночного контура, определенная в [3,5] через векторный потенциал, так и для однослойной обмотки, определяемая в [6], выражаются через эллиптические интегралы 1-го и 3-го рода. По этой причине данная методика приводит к сингулярности – значения поля в некоторых особенных точках, лежащих на поверхнос-

ти соленоида, расходятся. В [7] показано, особенные точки появляются как следствие принятых математических допущений о бесконечно малой толщине токового слоя. А так как потенциал является своего рода первообразной функцией для напряженности поля, то в нем сингулярности могут пропадать.

В [6] приводится, также, строгий расчет напряженности поля постоянного магнита в произвольной точке (как внутри магнита, так и вне магнита). При этом постоянный магнит цилиндрической или кольцевой формы моделируется разноименными фиктивными магнитными зарядами, сосредоточенными на его противоположных торцевых поверхностях. Поверхностная плотность заряда равна $s_m = \pm M_r$. Полученные математические выражения поля свободны от дефектов сингулярности, но более сложны, так как представляют собой двойные интегралы.

Нами предлагается строгая и несложная математическая модель скалярного магнитного потенциала цилиндрического магнита диаметром $2a$, длиной l .

В [4-5] изложена методика, выражающая скалярный магнитный потенциал j_M , создаваемый контуром с током I , через телесный угол W , под которым виден этот контур

$$\varphi_M = \frac{I}{4\pi} \Omega + C, \quad (3)$$

где C – постоянная величина, так как потенциал определен с точностью до постоянной величины.

Представляя магнит в виде эквивалентного соленоида, предварительно разбивая его на элементарные контура и выделяя некоторый элементарный контур с элементарным током

$$dI = \frac{iW}{l} dz' = M_r dz', \quad (4)$$

запишем формулу потенциала элементарного контура

$$d\varphi_M = \frac{1}{4\pi} M_r dz' \Omega(z'). \quad (5)$$

Сначала определяем телесный угол, под которым виден элементарный контур из точки Р, совмещенной с началом координат (рис.1, а), предварительно разбивая его на элементарные телесные углы dW , под которыми видны элементы площади dS_K контура. В полярной системе координат величина

$$dS_K = r' d\psi dr'. \quad (6)$$

Каждый элементарный телесный угол определяется формулой [8]

$$d\Omega = \frac{dS_{сф}}{R^2}, \quad (7)$$

где $dS_{сф}$ – площадь элемента сферы радиуса R . Из рис. 1, б следует то, что

$$dS_{сф} = dS_K \cos\theta, \quad R = (z'^2 + r'^2)^{1/2}; \quad \cos\theta = z'/R. \quad (8)$$

Подставляя (8) в (6) и далее в (7), имеем

$$d\Omega = \frac{z'r'dr'd\psi}{(z'^2 + r'^2)^{3/2}}. \quad (9)$$

Полный телесный угол будет выражаться двукратным интегралом

$$\Omega = \iint_{S_K} \frac{z'r'dr'd\psi}{(z'^2 + r'^2)^{3/2}}. \quad (10)$$

Вычисление интеграла (10) проводим по методике [7]. На рис. 2 представлена геометрия границ областей интегрирования телесного угла для двух случаев, когда проекция $0'$ начала координат 0 на плоскость контура лежит вне контура ($ri\ a$) или внутри контура ($rJ\ a$).

Для случая, когда $ri\ a$ (рис. 2, а)

$$\begin{aligned} \Omega &= z' \int_{\psi_{\min}}^{\psi_{\max}} d\psi \int_{r_H}^{r_B} \frac{r' dr'}{(z'^2 + r'^2)^{3/2}} = \\ &= 2z' \int_0^{\psi_{\max}} \left[\frac{1}{\sqrt{z'^2 + r_H^2}} - \frac{1}{\sqrt{z'^2 + r_B^2}} \right] d\psi. \end{aligned} \quad (11)$$

Для случая, когда $rJ\ a$ (рис.2,б)

$$\Omega = z' \int_0^{2\pi} d\psi \int_0^{r_B} \frac{r' dr'}{(z'^2 + r'^2)^{3/2}} = 2\pi - 2z' \int_0^{\pi} \left[\frac{l}{\sqrt{z'^2 + r_B^2}} \right] d\psi. \quad (12)$$

Здесь: $r_H = r_H(Y)$ и $r_B = r_B(Y)$ радиус-векторы точек входа внутрь контура и выхода из контура луча $y = \text{const}$. Эти радиус-векторы определяются из уравнения окружности, которое в полярных координатах принимает вид

$$r'^2 - 2r'r'\cos Y + r^2 - a^2 = 0,$$

из которого следует:

$$\begin{aligned} r_B &= r \cos\Psi + (a^2 - r^2 \sin^2\Psi)^{1/2}, \\ r_H &= r \cos\Psi - (a^2 - r^2 \sin^2\Psi)^{1/2}; \end{aligned} \quad (13)$$

$$\sin Y_{\max} = a/r. \quad (14)$$

Магнитный потенциал эквивалентного соленоида длиной l в точке Р с координатами z и r (рис. 3) складывается из потенциалов (5) элементарных контуров

$$\varphi_M = \int_{z_1}^{l+z_1} d\varphi_M + C = \frac{M_r}{4\pi} \int_{z_1}^{l+z_1} \Omega(z' - z) dz' + C. \quad (15)$$

Для случая, когда $ri\ a$, подставляя (11) в (15) и меняя местами порядок интегрирования

$$\varphi_M = \frac{M_r}{2\pi} \int_0^{\psi_{\max}} d\psi \int_{z_1}^{l+z_1} \left[\frac{z'-z}{\sqrt{z'^2+r_h^2}} - \frac{z'-z}{\sqrt{z'^2+r_b^2}} \right] dz' + C =$$

$$\frac{M_r}{2\pi} \int_0^{\psi_{\max}} \left[\sqrt{(l+z_1-z)^2+r_h^2} - \sqrt{(l+z_1-z)^2+r_b^2} + \right. (16)$$

$$\left. \sqrt{(z_1-z)^2+r_b^2} - \sqrt{(z_1-z)^2+r_h^2} \right] d\psi + C.$$

Здесь z_1 – координата нижней торцевой поверхности магнита, C – постоянная величина.

Для случая, когда $r_f a$, подставляя (11) в (15) и меняя местами порядок интегрирования

$$\varphi_M = \frac{M_r l}{2} - \frac{M_r}{2\pi} \int_0^{\pi} d\psi \int_{z_1}^{l+z_1} \left[\frac{z'-z}{\sqrt{z'^2+r_b^2}} \right] dz' + C =$$

$$= \frac{M_r l}{2} - \frac{M_r}{2\pi} \int_0^{\pi} \left[\sqrt{(l+z_1-z)^2+r_b^2} - \sqrt{(z_1-z)^2+r_b^2} \right] d\psi + C. (17)$$

Определим осевую напряженность магнитного поля соленоида на основе выражения (17):

$$H_z = - \frac{\partial \varphi_M(r=0)}{\partial z} =$$

$$- \frac{M_r}{2\pi} \int_0^{\pi} \left[\frac{l+z_1-z}{\sqrt{(l+z_1-z)^2+r_b^2}} - \frac{z_1-z}{\sqrt{(z_1-z)^2+r_b^2}} \right] d\psi = (18)$$

$$= - \frac{M_r}{2} \left[\frac{l+z_1-z}{\sqrt{(l+z_1-z)^2+a^2}} - \frac{z_1-z}{\sqrt{(z_1-z)^2+a^2}} \right].$$

Поместив начало координат в середине соленоида ($z_1 = -l/2$) и подставляя (1) в (18), прихо-

дим к классической формуле напряженности осевого магнитного поля [2-3] катушки

$$|H_z| = \frac{iW}{2l} \left[\frac{\frac{l}{2}-z}{\sqrt{(\frac{l}{2}-z)^2+a^2}} + \frac{\frac{l}{2}+z}{\sqrt{(\frac{l}{2}+z)^2+a^2}} \right].$$

Такой результат свидетельствует о правомерности полученной модели поля.

Семейство зависимостей для соленоида с геометрическими размерами $a = l = 10$ м, характеризующее распределение магнитного потенциала в аксиальном направлении по формулам (16)-(17) на разных расстояниях r_k от оси симметрии, представлено на рис. 4; постоянная $C = 0$. На графике пунктирными линиями соответствуют двум распределениям магнитного потенциала на поверхности соленоида ($r = a$). В частности, зависимость 124 соответствует пути интегрирования примыкающего к поверхности внутри соленоида; зависимость 135 – примыкающего к поверхности вне соленоида. Различие этих двух зависимостей обусловлено тем, что путь интегрирования 124 пересекает контур с током величиной $M_r(z+l/2)$, что приводит к отличию потенциалов в каждой текущей точке на величину частичной МДС $F(z) = M_r(z+l/2)$. За пределами обмотки (в точках $z \neq 10$) рассматриваемые зависимости описываются соответствующими участками 46 и 57, потенциалы, в каждой точке которых отстоят друг от друга на одинаковую величину, равную полной МДС соленоида $F = M_r l$. Такой характер зависимостей магнитного потенциала может приниматься во внимание при разработке магнитной схемы замещения постоянного магнита.

Таким образом, получена математическая

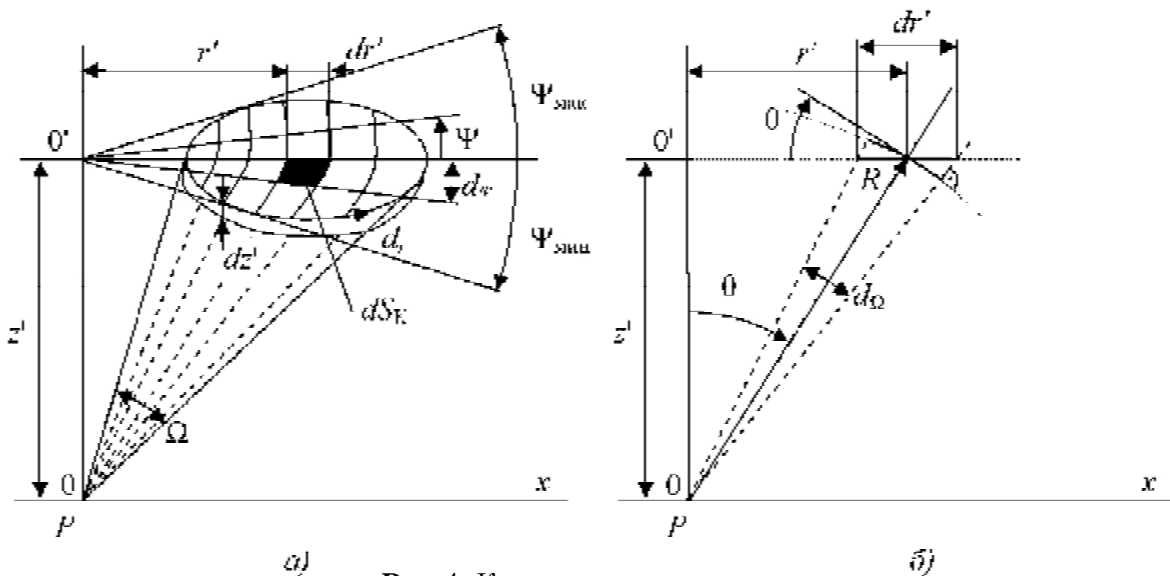


Рис. 1. К расчету телесного угла:
 а – под которым виден контур с элементом тока di ;
 б – под которым виден элемент площади dS_k контура

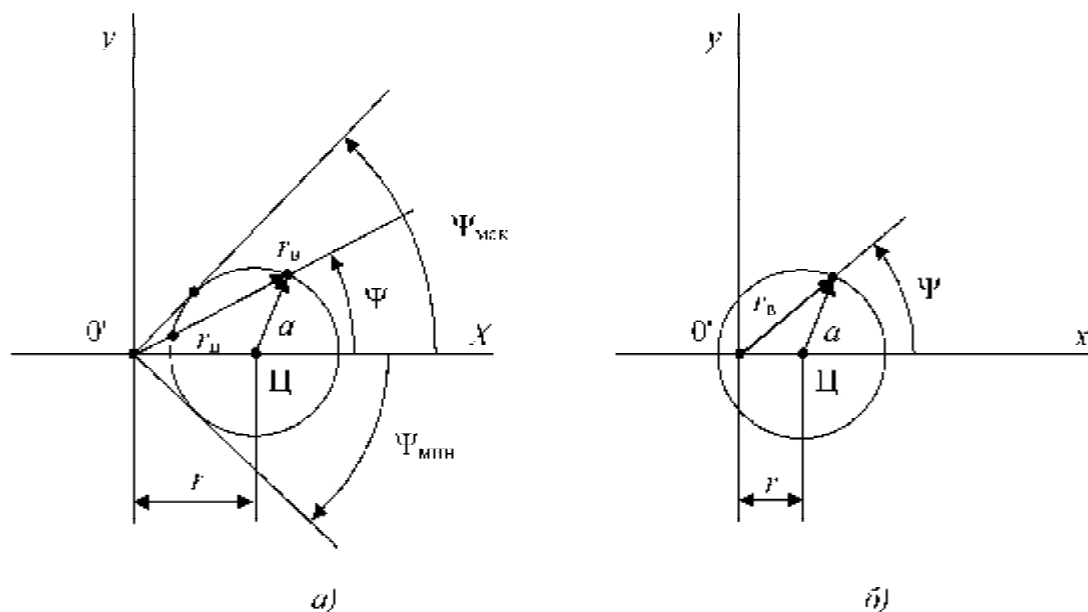


Рис. 2. К расчету границ областей интегрирования телесного угла:
 а – для случая, когда проекция O' точки наблюдения P на плоскость контура лежит вне контура;
 б – для случая, когда проекция O' точки наблюдения P на плоскость контура лежит внутри контура

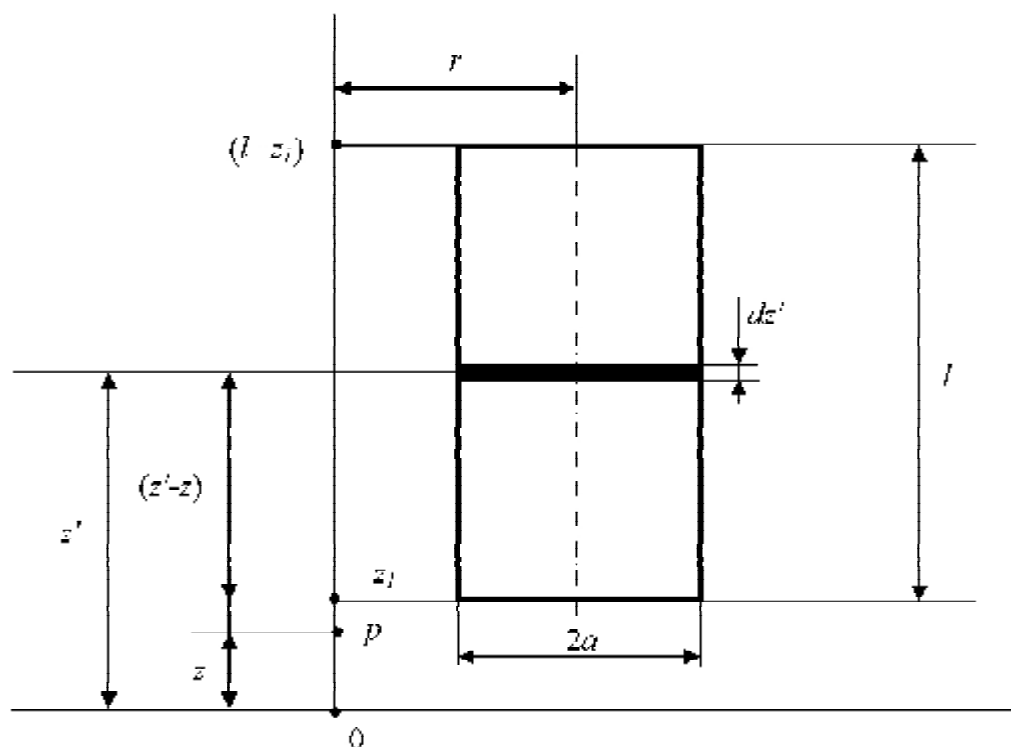


Рис. 3. К расчету скалярного магнитного потенциала эквивалентного соленоида

модель для скалярного магнитного потенциала цилиндрического магнита, состоящая из двух выражений (16)-(17), описывающих распределение потенциала в произвольной точке внешней области магнита. При этом расчет в общем случае сводится к задаче интегрирования по одной переменной и не представляет серьезных трудностей. Данная модель содержит в себе в явной форме параметры постоянного магнита,

удобной для анализа поля и может быть положена для анализа внешнего поля магнитов в однородной среде.

Расчет скалярного магнитного потенциала кольцевого магнита проводится тоже по выражениям (16)-(17). Только в этом случае нужно использовать принцип наложения, для определения результирующего поля двух эквивалентных соленоидов с равными, но с противоположными направлениями токов [2].

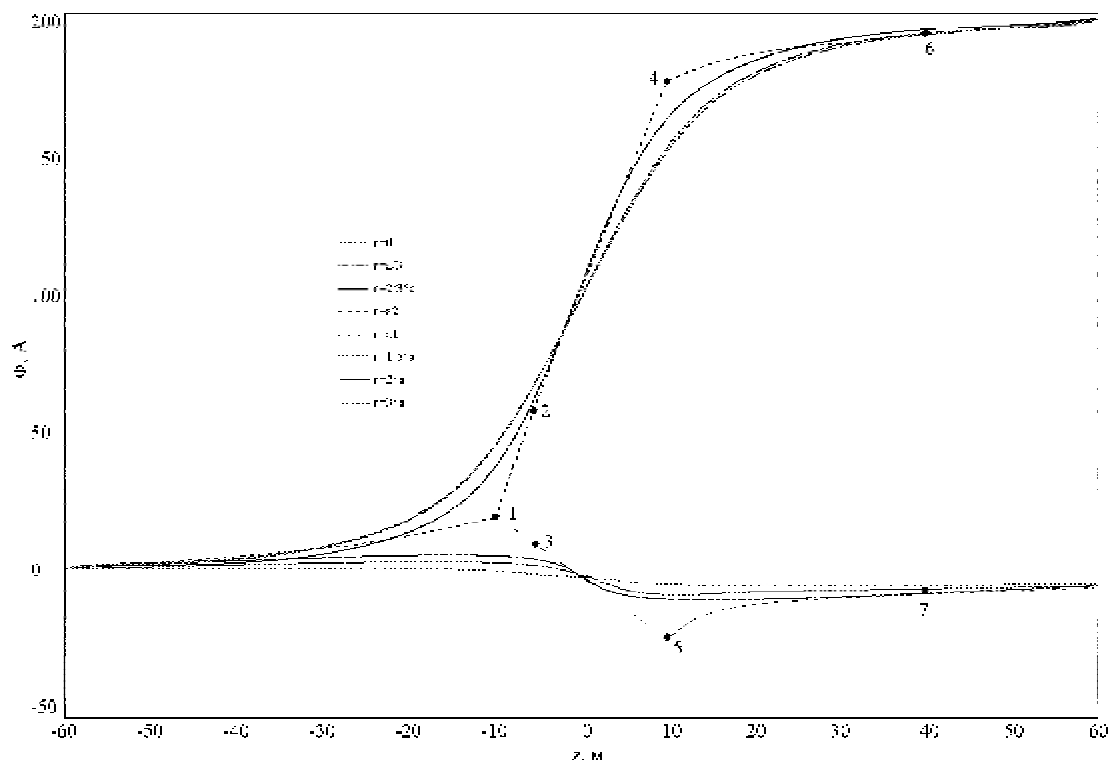


Рис. 4. Семейство зависимостей распределения скалярного магнитного потенциала эквивалентного соленоида

Исследования выполнены при финансовой поддержке Министерства образования и науки РФ по аналитической ведомственной целевой программе «Развитие научного потенциала высшей школы (2009 – 2010 годы)» на 2009 год, регистрационный номер 2.1.2/4506.

СПИСОК ЛИТЕРАТУРЫ

1. Булыжев Е.М., Худобин Л.В. Ресурсосберегающее применение смазочно-охлаждающих жидкостей при металлообработке. М.: Машиностроение, 2004. 352 с.
2. Постоянные магниты: Справочник / Альтман А.Б., Герберг А.Н., Гладышев П.А. и др.; Под ред. Ю.М. Пятина. М.: Энергия, 1980. – 488 с.
3. Бессонов Л.А. Теоретические основы электротехники: Электромагнитное поле. М: Высш. школа, 1978. 231 с.
4. Тамм И.Е. Основы теории электричества. М.: Наука, 1976. – 616 с.
5. Нейман Л.Р., Димирчян К.С. Теоретические основы электротехники. Л: Энергоиздат, 1981. Том 2. 415 с.
6. Расчет электрических цепей и электромагнитных полей на ЭВМ/ М.Г Александрова, А.Н. Белянина, В. Брюкер и др.: Под. ред. Л.В. Данилова и Е.С. Филиппова. М.: Радио и связь, 1983. – 344 с.
7. Сечнев А.Я. Расчет напряженности поля прямым методом. Л.: Энергоатомиздат, 1984. 112 с.
8. Смирнов В.И. Курс высшей математики. М.: Наука, 1967. Том 2. 655 с.

MODELING OF THE FIELD PERMANENT MAGNET

© 2011 E.M. Bulyzhev, E.N. Menshov, G.A. Dzhavakhiya

Ulyanovsk State Technical University
Closed Joint Stock Company “Bulyzhev. Industrial Ecosystems”, Ulyanovsk

A mathematical model of the distribution of the scalar magnetic potential created in the surrounding cylindrical or annular permanent magnet.

Keywords: magnetic separator, equivalent solenoid, the magnetization, the scalar magnetic potential, magnetic field strength, solid angle, the field distribution.

Eugeny Bulyzhev, Doctor of Technics, Professor.
Тел.: (8422) 44-42-45.

Eugeny Menshov, Candidate of Technics, Associate Professor.
E-mail: raynd2@rambler.ru.

Georgy Dzhavakhiya, Graduate Student at the Engineering Technology Department. E-mail: geo.d@mail.ru.